

소결조제에 따른 $\text{Si}_3\text{N}_4/\text{SiC}$ 초미립복합재료의 고온강도변화

황광택, 김창삼*, 정덕수*, 오근호

한양대학교 무기재료공학과, 서울, 133-791

* 한국과학기술연구원 세라믹스연구부, 서울, 136-791

Change of high temperature strength of $\text{Si}_3\text{N}_4/\text{SiC}$ nanocomposites with sintering additives

Kwang Taek Hwang, Chang Sam Kim*, Deock Soo Cheong* and Keun Ho Auh

Department of Inorganic Materials Engineering, Hanyang University, Seoul 133-791, Korea

* Ceramics Division, Korea Institute of Science and Technology, Seoul 136-791, Korea

요약 침가된 소결조제가 다른 $\text{Si}_3\text{N}_4/20 \text{ vol\% SiC}$ 초미립복합재료의 파괴강도를 측정하였다. 소결조제로서 6 wt% Y_2O_3 과 2 wt% Al_2O_3 을 사용한 시편의 실온강도는 높았지만 낮은 입계상의 연화온도에 기인하여 급격한 강도저하가 나타났다. 소결조제로서 8 wt% Y_2O_3 만을 사용한 시편의 1400°C에서의 고온강도가 높았는데 이는 높은 입계상 연화온도와 입계유리상의 결정화에 기인하는 것으로 판단하였다.

Abstract Fracture strength of $\text{Si}_3\text{N}_4/20 \text{ vol\% SiC}$ nanocomposites with different sintering additives was measured. Strength of nanocomposites with 6 wt% Y_2O_3 and 2 wt% Al_2O_3 as sintering additives was higher at room temperature but significant strength degradation at elevated temperature was occurred due to the softening of grain boundary phase. Fracture strength of 8 wt% Y_2O_3 doped sample was higher than that of Al_2O_3 added sample at 1400°C. The retention of high temperature strength in 8 wt% Y_2O_3 doped sample can be attributed to high softening temperature and crystallization of grain boundary glassy phase.

1. 서 론

엔진이나 세라믹 가스터빈 등에 응용되는 질화규소(Si_3N_4)에 대한 많은 연구가 진행되

어 왔다. 초기의 연구 중에는 질화규소의 난 소결성을 극복하려는 연구들이 있으며, 소결조제를 사용하는 것이 일반적인 방법이다[1, 2]. 소결조제로서는 MgO , Y_2O_3 , Al_2O_3 과 같이 주로 금속산화물이 사용되어 왔다[3]. 치밀화를 위해 첨가되는 소결조제들은 질화규소 입자 표면에 산화상으로 존재하는 SiO_2 와 비정질의 액상을 형성하여 고온강도를 저하시키는 원인이 된다[4].

고온강도를 향상시키기 위한 연구로서는 소결조제의 양을 줄이는 방법, 연화온도가 높은 소결조제의 사용, 소결후 열처리에 의해 입계 유리상을 결정화하는 방법 등이 있다 [5-7]. 이들 방법들이 입계상을 제어하여 고온강도를 증진시키는 연구이며, 이차상을 첨가한 복합재료도 고온강도 향상을 위한 방법으로 연구되고 있다[8,9].

본 연구에서는 복합화하는 방법 중에서 이차상으로 nanometer-size의 SiC 입자를 분산시키는 Si_3N_4 -SiC 초미립복합재료를 제조하였다. 실험조건 중에서 이차상의 평균입경과 사용되는 소결조제의 변화가 초미립복합재료의 고온강도에 미치는 영향을 분석하였다.

2. 실험 방법

기지상은 α - Si_3N_4 (SN-E10, Ube Co., Japan)분말과 이차상으로 입경이 다른 두 종류의 β -SiC(Betarundum, Ibiden Co., Japan, 평균입경 270 nm, T-1, Sumitomo Co., Japan, 평균입경 30 nm)를 사용하였다. SiC의 첨가량은 밀도와 강도가 높았던 20 vol%로 하였으며[10,11], 소결조제로 Y_2O_3 (Johnson Matthey Co., USA)와 Al_2O_3 (Sumitomo Co., Japan)를 사용하였다. 첨가한 SiC 분말에 따라 270 nm SiC는 SB, 30 nm SiC는 ST로

표시하였으며, 소결조제로서 6 wt% Y_2O_3 과 2 wt% Al_2O_3 을 사용한 조성은 AY, 8 wt% Y_2O_3 을 사용한 조성은 8Y로 표시하였다.

각각의 분말들을 습식볼밀하였으며, 슬러리는 micro wave와 rotary evaporator를 이용하여 건조하였다. 건식볼밀과 체거름한 혼합분말은 graphite sleeve에 충전한 후 질소분위기하에서 1800°C, 2시간, 25 MPa의 조건으로 고온가압소결(hot press) 하였다.

소결조제와 이차상 평균입경에 따른 소결체의 밀도는 Archimedes법으로 측정하였고, 계산된 이론밀도와의 상대밀도를 구하였다. 소결체의 결정상은 X-ray diffractometer를 사용하여 분석하였다.

소결체의 실온강도는 $2 \times 1.5 \times 25$ mm 크기의 시편을 span 20 mm, cross head speed 0.5 mm/min 조건으로 3점 꺽임강도를 측정하였으며, 고온강도는 1200°C와 1400°C까지 온도를 승온한 후 시편내의 온도를 일정하게 하기 위하여 5분간 유지한 후에 실온강도와 같은 조건으로 측정하였다.

강도측정 후의 파단면은 코팅후 주사전자현미경(Hitachi Co. FE-SEM)을 이용하여 관찰하였다.

3. 결과 및 고찰

첨가한 SiC 분말과 소결조제의 종류에 따른 밀도측정 결과 모든 조성에서 이론밀도에 가깝게 치밀화하였으며 소결조제나 SiC 입경에 따른 차이는 보이지 않았다.

각 조성의 가압소결한 후의 XRD 결과를 Fig. 1에 나타내었다. 기지상인 α - Si_3N_4 의 β - Si_3N_4 로의 상전이가 나타났으며, 이차상 β -SiC는 변화가 없었다. 소결조제로서 Y_2O_3 과 Al_2O_3 을 사용한 SB-AY에서 입계상의 피크

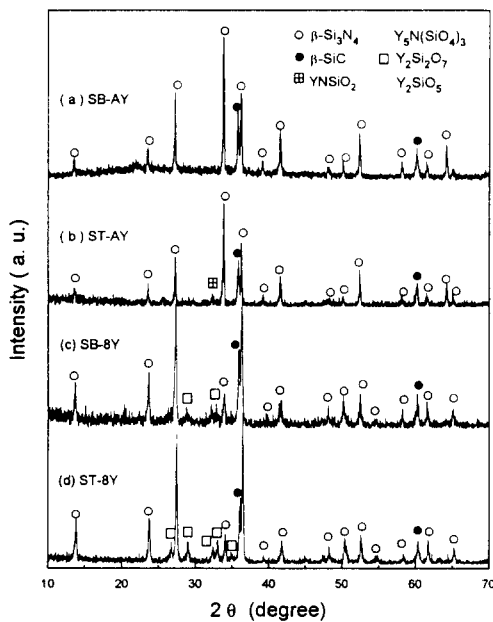


Fig. 1. XRD patterns of Si_3N_4 /20 vol% SiC nanocomposites with different sintering additives and mean particle size of SiC.

는 나타나지 않았지만, ST-AY에서 YNSiO_2 나 yttrium silicate의 작은 피크가 나타났다. Y_2O_3 만을 사용한 조성에서는 Al_2O_3 가 첨가된 조성에 비해 입계상의 피크가 커졌으며, 특히 30 nm SiC를 사용한 ST-8Y에서 뚜렷이 나타나고 있다. 이들 입계상은 Si_3N_4 분말 표면의 산화에 의한 SiO_2 와 소결조제인 Y_2O_3 가 반응하여 생성되는 yttrium silicate상으로, 결정상으로서는 $\text{Y}_2\text{Si}_2\text{O}_7$ 과 Y_2SiO_5 가 나타나고 있으며, 일부의 Si_3N_4 와 반응상인 $\text{Y}_3\text{N}(\text{SiO}_4)_3$ 나 YNSiO_2 상도 나타나고 있다. 이들 입계결정상들은 다른 연구자의 결과[12]에서도 나타나고 있는데, 입계상들의 피크가 혼재되어 있어 정확한 상분석에 대한 연구가 필요하다.

온도에 따른 각 조성의 강도변화를 Fig. 2에 나타내었다. 실온에서는 SB-AY와 ST-AY의 강도가 SB-8Y와 ST-8Y보다 높으며,

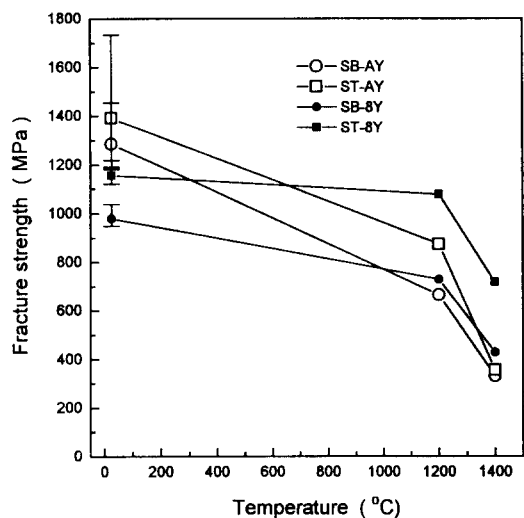


Fig. 2. Temperature dependence of fracture strength in Si_3N_4 /20 vol% SiC nanocomposites.

30 nm SiC를 사용한 시편의 강도가 높음을 알 수 있다[10,11]. 온도 상승에 따라 SB/T-AY는 1200°C에서 약 40 % 정도의 급격한 강도열화가 나타났지만, SB-8Y의 강도저하는 25 %로 낮으며 ST-8Y는 실온강도를 거의 유지하고 있다. 첨가된 소결조제와 질화규소 입자표면에 존재하는 SiO_2 의 반응에 의해 비정질 입계상이 생성되는데 $\text{Y}_2\text{O}_3\text{-}\text{Al}_2\text{O}_3\text{-}\text{SiO}_2$ 상의 상평형도에서 공용온도가 1360°C이고, 유리 전이온도가 850~900°C로[13] 입계상의 연화온도가 낮지만 $\text{Y}_2\text{O}_3\text{-}\text{SiO}_2$ 상의 공용온도[14]는 1660°C로 유리상 연화온도가 상대적으로 높다. 따라서 실온강도에 대한 1200°C에서의 강도저하 정도는 Al_2O_3 가 첨가된 시편에서 크게 나타났다. 측정온도가 1400°C가 되면 AY조성의 고온강도는 1200°C의 50 % 이상 급격히 열화하지만 8Y 조성은 Fig. 2에서 보인 것처럼 강도저하가 AY 조성에 비해 작게 나타났다. 단립의 질화규소 세라믹스는 입계유리상이 결정화되면

고온강도 저하가 작게 나타난다[15]. ST-8Y의 1400°C에서 강도는 720 MPa로 단립의 질화규소[7,15,16]가 200~500 MPa인데 비해 높게 나타났다. Fig. 2에 나타낸 소결조제에 따른 고온강도와 강도저하량의 차이는 입계유리상의 연화온도 차이와 XRD 분석결과 입계유리상의 결정화 차이에 의한 것으로 판단된다. 최근 Si_3N_4 - SiC 초미립복합재료에서 첨가된 SiC와 기지상의 계면에 유리상 없이 두상이 직접 결합한다는 연구결과[17]가 보고되었으며, 이러한 미세구조분석으로부터 입계에 존재하는 SiC는 입계유리상에 의한 입계미끄러짐을 억제하여 고온강도 저하를 억제하는 역할을 할 것으로 기대 된다.

그러나 Al_2O_3 가 첨가된 시편에서는 입계 SiC에 의한 강도저하 억제효과에도 불구하고 강도저하가 큰 것은 낮은 입계상의 연화온도에 의한 강도저하 효과가 크기 때문으로 판단된다. 이에 비해 Y_2O_3 가 첨가된 시편에서는 높은 고온강도와 강도저하가 낮은 또 하나의 기구로서 입계에 존재하는 SiC에 의한 강화효과로 판단하였다.

고온에서 강도측정 후 주사전자현미경으로 파단면 관찰결과를 Fig. 3에 나타내었다. Fig. 3 (a)는 ST-AY의 파단면으로 화살표로 표시한 부분을 경계로 subcritical crack growth(SCG) 영역인 rough한 파단면과 빠른 파괴 양상의 smooth한 파단면이 나타나

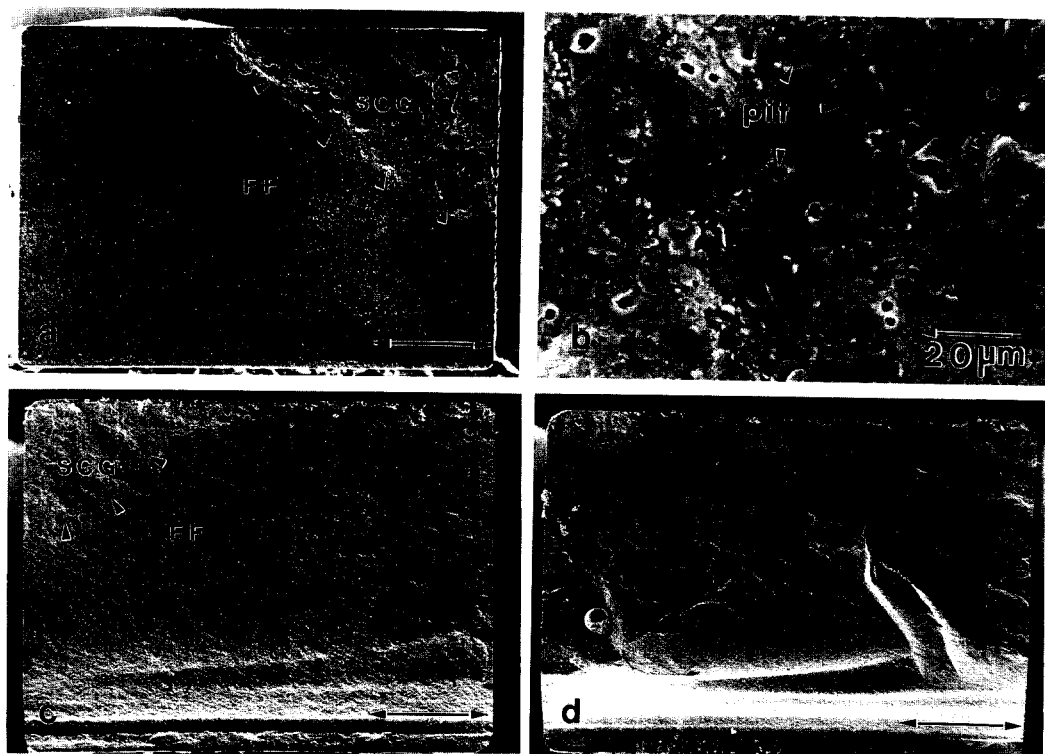


Fig. 3. SEM micrographs for fracture surface of Si_3N_4 /20 vol% SiC nanocomposites tested at 1400°C. (a) ST-AY, (b) higher magnification of (a), (c) SB-8Y, (d) ST-8Y, (SCG ; slow crack growth region, FF ; fast fracture region, arrows of (a) (c) (d) indicates 500 μm).

고 있다. (b)는 파단면의 고배율 사진으로 측정온도인 1400°C에서 산화에 의해 산화층이 파단면을 덮고 있다. 또 화살표로 표시한 기공과 같은 형태의 corrosion pit[18]이 생성되어 산화에 대한 저항성이 낮음을 알 수 있다. SB/T-AY와 SB/T-8Y의 파단면은 1200°C에서는 큰 차이를 보이지 않았지만 1400°C에서는 Fig. 3과 같이 고온강도가 높아질수록 SCG 영역의 면적이 감소되고 있다 (Fig. 3 (a)와 (c)). 가장 높은 고온강도를 나타낸 ST-8Y에서는 SCG가 아주 적은 영역이었으며 (Fig. 3 (d)), 파단면은 실온에서의 파단면과 같이 파괴원과 mirror, hackle 등이 나타나는 특징을 가지며, 측정온도인 1400°C에서 720 MPa의 높은 강도를 나타냈다.

4. 결 론

소결조제로서 6 wt% Y_2O_3 와 2 wt% Al_2O_3 와 8 wt% Y_2O_3 을 사용한 $\text{Si}_3\text{N}_4/20 \text{ vol\% SiC}$ 초미립복합재료를 제조하였고, 기계적 특성과 미세구조분석을 실시하여 다음의 결과를 얻었다.

- 1) 이차상 평균입경이나 소결조제에 따른 치밀화정도의 차이는 없었으며, Y_2O_3 를 8 wt % 첨가한 조성은 입계상이 결정화되었고 특히 30 nm SiC를 첨가한 조성의 결정화 정도가 뚜렷하였다.
- 2) 실온에서 파괴강도는 작은 크기의 이차상이 첨가된 조성이 결정립의 미세화에 의해 높았으며, 고온에서는 입계상의 연화점이 높은 Y_2O_3 을 첨가한 조성의 강도가 높았다. 또 입계상의 결정화 정도가 뚜렷한 ST-8Y 조성에서 가장 높은 강도를 나타냈다.
- 3) 고온강도가 높은 시편의 파단면은 실온에서와 유사한 파괴양상을 보였으며, 강도

저하가 크게 나타난 조성의 파단면에서는 subcritical crack growth 영역이 크게 나타났다. 입계상의 연화온도가 낮은 Y_2O_3 과 Al_2O_3 소결조제가 첨가된 조성의 파단면에는 강도 측정 중에 산화에 의한 corrosion pit이 생성되어 산화 저항성이 낮음을 알 수 있다.

감사의 글

본 연구는 과기처 연구비 지원에 의한 한국과학기술연구원 KIST-2000 program 수행결과의 일부이며 이에 감사드립니다.

참 고 문 헌

- [1] G.E. Gazza, J. Am. Ceram. Soc. 56 (1973) 62.
- [2] K. Negita, J. Mat. Sci. Lett. 4 (1985) 417.
- [3] K. Negita, J. Mat. Sci. Lett. 4 (1985) 755.
- [4] F.F. Lange, J. Am. Ceram. Soc. 57 (1974) 84.
- [5] I. Tanaka, G. Pezzotti, T. Okamoto, Y. Miyamoto and M. Koizumi, J. Am. Ceram. Soc. 72 (1989) 1656.
- [6] J.T. Smith and C.L. Quakenbush, Am. Ceram. Soc. Bull. 59 (1980) 529.
- [7] A. Tsuge, K. Nishida and M. Komatsu, J. Am. Ceram. Soc. 58 (1975) 323.
- [8] F.F. Lange, J. Am. Ceram. Soc. 56 (1973) 445.
- [9] K. Niihara, K. Izaki and T. Kawakami, J. Mat. Sci. Lett. 10 (1990) 112.
- [10] 황광택, 김창삼, 정덕수, 오근호, 한국

- 결정성장학회지 6 (1996) 386.
- [11] 황광택, 김창삼, 정덕수, 오근호, 한국
결정성장학회지 6 (1996) 392.
- [12] T. Hirano and K. Niihara, Mat. Letters
22 (1995) 249.
- [13] Y. Murakami and H. Yamamoto, J.
Ceram. Soc. Japan 99 (1991) 215.
- [14] F.F. Lange, S.C. Singhal and R.C.
Kuznicki, J. Am. Ceram. Soc. 60
(1977) 249.
- [15] D.A. Bonnell, T.Y. Tien and M. Rühle,
J. Am. Ceram. Soc. 70 (1987) 460.
- [16] I. Tanaka, G. Pezzotti, T. Okamoto
and Y. Miyamoto, Ceram. Eng. Sci.
Proc. 10 (1989) 817.
- [17] X.Q. Pan, J. Mayer, M. Rühle and K.
Niihara, J. Am. Ceram. Soc. 79 (1996)
585.
- [18] D. Cubicciotti and K.H. Lau, J. Am.
Ceram. Soc. 61 (1978) 512.